

01;06;11;12

## Контакт иглы кантилевера с поверхностью как машина катастроф

© А.В. Покропивный

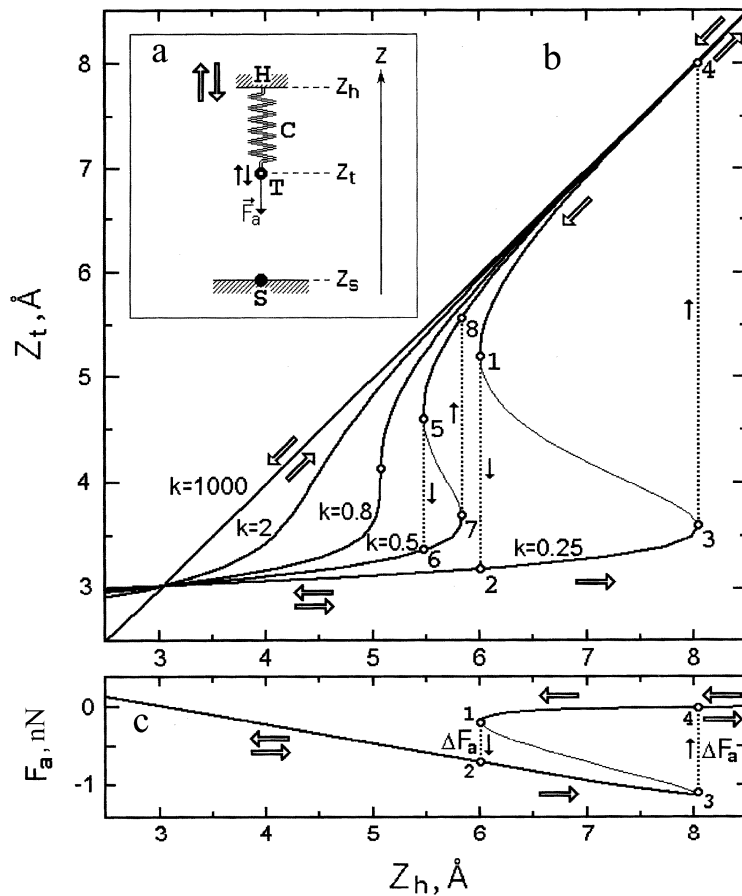
Институт проблем материаловедения НАН Украины, Киев  
E-mail: pokr@ipms.kiev.ua

Поступило в Редакцию 2 июня 2000 г.

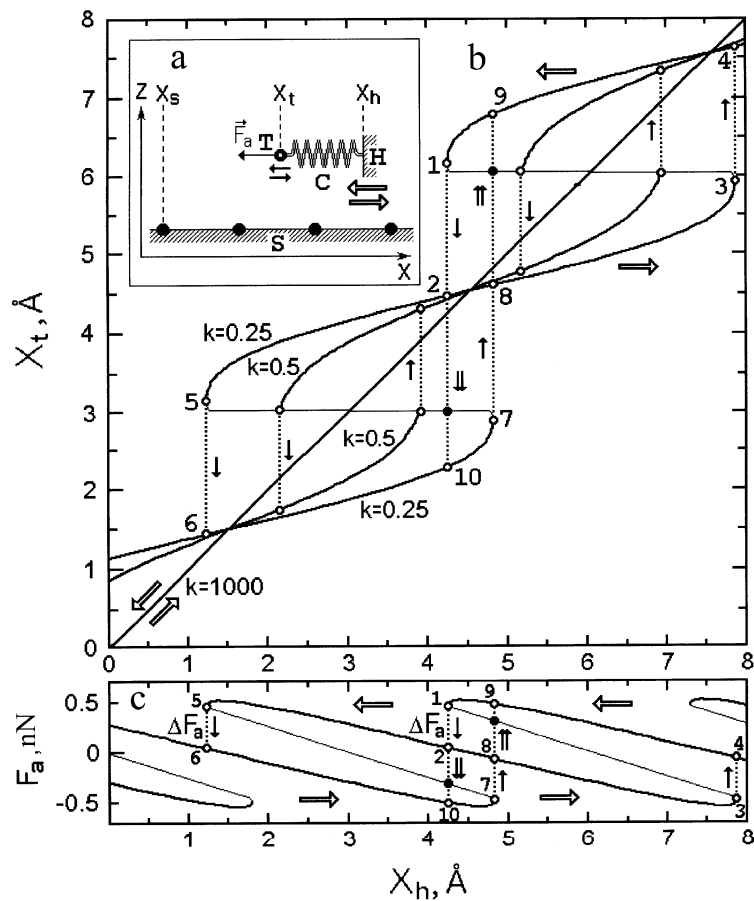
Впервые контакт иглы кантилевера с поверхностью в зондовой микроскопии предлагается рассматривать как машину катастроф. Как и в теории катастроф, проанализировано поведение системы в зависимости от внутренних параметров — жесткости и координат держателя кантилевера. Рассчитаны величины скачков иглы и силы адгезии, возникающих как при вертикальном сближении и удалении, так и при горизонтальном скольжении кантилевера. Построены проекции поверхности равновесия и рассматриваются режимы, позволяющие избежать "скачков к контакту" и "микрослипов". Предлагаются метод диагностики поверхностных вакансий и новый алгоритм подвода иглы к контакту.

Исследование трения скольжения с помощью простых теоретических моделей начато в моделях независимых [1] и связанных [2] осцилляторов. В обеих моделях межатомные связи имитировались пружинами, расположенными перпендикулярно или параллельно направлению скольжения [3]. Изобретение атомно-силового [4], фрикционного [5] и адгезионного [6] микроскопов, одним из элементов которых является кантилевер, позволяет по-новому применить эти модели. Действительно, пружинами можно имитировать не только атомные связи, а сам кантилевер [7–11]. Взаимодействие иглы с поверхностью можно имитировать потенциалом, параметры которого в общем случае должны быть найдены исходя из геометрии контакта и типов химических связей.

Устройства, в которых могут происходить "катастрофы", или скачкообразные переходы из одних состояний в другие, называют машинами катастроф [12]. В данной работе конструкция механической части зондовых микроскопов [4–6] рассматривается как адгезионная и фрикционная машины катастроф, схемы которых изображены на рис. 1, а и 2, а соответственно. Пружина переменной жесткости  $k$  с закрепленной на одном из ее концов иглой в виде атома вольфрама имитирует



**Рис. 1.** *a* — схема адгезионной машины катастроф: *S* — поверхность, *T* — игла, *C* — пружина-кантилевер и *H* — ее держатель. *b* — зависимости координаты иглы  $Z_t$  от координаты держателя пружины  $Z_h$  для жесткостей  $k = 0.25 \text{ N/m}$ ,  $k = 0.5 \text{ N/m}$ ,  $k = 0.8 \text{ N/m}$ ,  $k = 2 \text{ N/m}$  и  $k = 1000 \text{ N/m}$ . *c* — кривая адгезионной силы при сближении и удалении держателя с пружиной жесткостью  $k = 0.25 \text{ N/m}$ .  $\Delta F_a$  — скачки силы в моменты "прилипания" или "отлипания". Большие и малые стрелки указывают направления движения держателя и "скачков" иглы (*a-c*). Жирной линией показаны устойчивые ветви, а тонкой — неустойчивые (*b,c*).



**Рис. 2.** *a* — схема фрикционной машины катастроф (обозначения такие же, как и на рис. 1, *a*). *b* — зависимости координаты иглы  $X_t$  от координаты держателя пружины  $X_h$  для жесткостей  $k = 0.25$  N/m,  $k = 0.5$  N/m и  $k = 1000$  N/m. *c* — силовая кривая при горизонтальном движении держателя с пружиной жесткостью  $k = 0.25$  N/m.  $\Delta F_a$  — скачки силы в моменты одиночных "микрослипов". Большие стрелки указывают направления движения держателя, а одиночные и двойные малые стрелки указывают направления одиночных и двойных скачков иглы (*a-c*). Жирной линией показаны устойчивые ветви, а тонкой — неустойчивые (*b,c*).

кантилевер зондового микроскопа. Другой конец пружины прикреплен к держателю. Ось пружины располагается перпендикулярно (рис. 1, *a*) или параллельно (рис. 2, *a*) поверхности. Пружина может растягиваться или сжиматься, с одной стороны, вследствие изменений координат держателя ( $Z_h$  или  $X_h$ ) и иглы ( $Z_t$  или  $X_t$ ), и с другой — вследствие изменения жесткости  $k$ . Игла в свою очередь взаимодействует с поверхностью, сымитированной атомом вольфрама (рис. 1, *a*) или атомной цепочкой (рис. 2, *a*). Без потери общности в качестве потенциала взаимодействия атомов поверхности друг с другом и с атомом иглы был взят потенциал Морзе для вольфрама [13].

Состояние адгезионной и фрикционной машины катастроф описывается тремя числами — координатами иглы ( $Z_t$  или  $X_t$ ) и держателя кантилевера ( $Z_h$  или  $X_h$ ), а также переменной жесткостью  $k$ . Если все три числа заданы, то определена потенциальная энергия всей системы. Пружина будет растягиваться так, чтобы эту энергию минимизировать (по меньше мере локально). Будем считать координату держателя и жесткость управляющими параметрами, а координату иглы — внутренним параметром системы. Такой выбор обусловлен тем, что в зондовых микроскопах существует принципиальная возможность устанавливать и контролировать только координату держателя и жесткость кантилевера, а координату иглы можно только регистрировать по отклонению кантилевера.

Состояния, при которых игла находится в равновесии, образуют в трехмерном пространстве состояний машин катастроф гладкие поверхности — поверхности равновесия  $Z_t(k, Z_h)$  и  $X_t(k, X_h)$ . В каждом равновесном положении иглы, представляющей собой точку на этой поверхности, сила адгезионного взаимодействия иглы и поверхности компенсируется силой растяжения пружины. Суммарная потенциальная энергия системы содержит член от взаимодействия игла–поверхность:  $U_a(Z_t - Z_s)$  или  $U_a(X_t - X_s)$ , и член от энергии, запасенной в пружине:  $k(Z_t - Z_h)^2/2$  или  $k(X_t - X_h)^2/2$ . Чтобы получить уравнение поверхности равновесия, минимизируем суммарную потенциальную энергию по внутреннему параметру, учитывая, что  $Z_s = X_s = 0$ .

Для адгезионной машины катастроф получим уравнение [8,9]:

$$\partial U_{tot}(Z_t, Z_h, k) / \partial Z_t = \partial U_a(Z_t) / \partial Z_t + k(Z_t - Z_h) = 0. \quad (1)$$

Для фрикционной машины катастроф получим уравнение [9–11]:

$$\partial U_{tot}(X_t, X_h, k) / \partial X_t = \partial U_a(X_t) / \partial X_t + k(X_t - X_h) = 0. \quad (2)$$

Решения этих уравнений удобно представить в виде кривых  $X_t(X_h)$  и  $Z_t(Z_h)$ , полученных сечением соответствующих поверхностей равновесия плоскостями постоянной жесткости  $k = \text{const}$ . На рис. 1, *b* и 2, *b* изображены такие кривые для некоторых значений жесткостей, часто встречающихся в экспериментах.

Покажем, как возникают катастрофы в адгезионной машине катастроф при зафиксированной жесткости  $k = 0.25 \text{ N/m}$ . Расположим такую систему в точке 4 и будем сближать держатель с поверхностью (рис. 1, *b*). Катастрофа "прилипания" возникает тогда, когда система попадает в точку 1 (т. 1). Равновесие нарушается, и игла из т. 1 "прыгает к контакту" в т. 2, смещаясь на  $\Delta Z \approx 0.2 \text{ nm}$ . Теперь будем удалять держатель от поверхности. Катастрофа "отлипания" возникает тогда, когда система оказывается в т. 3. Равновесие системы снова нарушается, и игла из т. 3 "прыгает от контакта" в т. 4, смещаясь на  $\Delta Z \approx 0.44 \text{ nm}$ . Так, система возвращается в исходное состояние. Для "жестких" пружин как величины "скачков к контакту" и "скачков от контакта", так и площадь цикла гистерезиса меньше (см., например, цикл 8–5–6–7–8 в сравнении с циклом 4–1–2–3–4 на рис. 1, *b*). Для пружин с жесткостями, большими критического значения  $0.8 \text{ N/m}$ , для  $k = 2 \text{ N/m}$  и  $k = 1000 \text{ N/m}$  возможность катастроф вообще исключается, т.е. для любого положения держателя существует только одно равновесное положение иглы. Для жесткостей, превышающих  $1000 \text{ N/m}$ , зависимость  $Z_t(Z_h)$  представляет собой прямую  $Z_t = Z_h$ .

Покажем, как возникают катастрофы во фрикционной машине катастроф с фиксированной жесткостью  $k = 0.25 \text{ N/m}$ . Расположим систему в т. 4 и будем двигать держатель против оси  $X$  (рис. 2, *b*). Катастрофа "прилипания" возникает тогда, когда система попадает в т. 1. Равновесие нарушается и происходит "микрослип", при котором игла из т. 1 перепрыгивает в новое положение равновесия, в т. 2 на расстояние  $\Delta X \approx 0.17 \text{ nm}$  или в т. 10 на расстояние  $\Delta X \approx 0.39 \text{ nm}$ . В последнем случае происходит двойной "микрослип" и перескок на другую устойчивую кривую. При дальнейшем смещении держателя по достижению системой т. 5 равновесие снова нарушается и происходит "микрослип", при котором игла перепрыгивает в новое положение равновесия, в т. 6. Если в т. 1 произошел двойной "микрослип", то система из т. 10 переходит в т. 6 без скачков. Изменим направление движения держателя. Теперь равновесие нарушается тогда, когда система из т. 6 попадает в т. 7. Как и в предыдущем случае, может произойти либо одинарный (в т. 8), либо двойной (в т. 9) "микрослип".

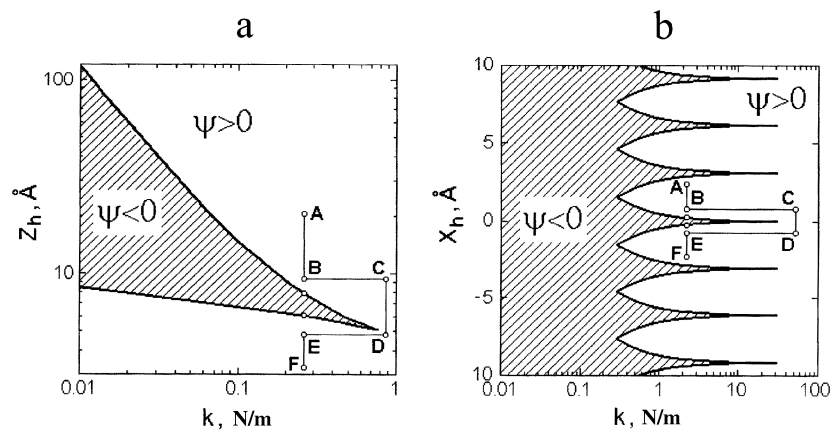
При дальнейшем смещении держателя по достижении системой т. 3 равновесие снова нарушается и происходит "микрослип", при котором игла перепрыгивает в т. 4. Если в т. 4 произошел двойной "микрослип", то система переходит из т. 9 в т. 4 без скачков. Заметим, что для жесткости  $k = 0.5 \text{ N/m}$  возможны только одинарные "микрослипы", а для жесткостей, превышающих  $30 \text{ N/m}$ , гистерезиса нет и зависимость  $X_t(X_h)$  представляет собой прямую  $X_t = X_h$  (рис. 2, *b*). Таким образом, в циклах сканирования держателя могут возникать гистерезисные петли одинарных "микрослипов", например петли 1–2–3–4–1 и 5–6–7–8–5, и более сложные, например петли двойных "микрослипов" 1–10–7–9–1 или чередования одинарных и двойных 1–2–5–6–7–9–1, что уже наблюдалось экспериментально [5]. Интересно, что игла, в принципе, может попасть и на неустойчивую ветвь. В этом случае игла будет располагаться строго над атомом цепочки (см. закрашенные точки на рис. 2, *b*).

В моменты "скачков к контакту" и "микрослипов" потенциальная энергия системы уменьшается, и эта разность  $\Delta U_{tot}$  идет как на возбуждение упругих колебаний, так и на деформацию контактирующих поверхностей. Скачки силы  $\Delta F_a$  в моменты "микрослипов" [5,11,14] и "отлипания" [6,14], регистрируемые экспериментально, в том числе зондовыми микрослипами серии SOLVER фирмы NT-MDT, могут быть рассчитаны в данной модели из кривых  $F_a(X_h)$  и  $F_a(Z_h)$ . На рис. 1, *c* и 2, *c* представлены зависимости  $F_a(Z_h)$  и  $F_a(X_h)$  для жесткости  $k = 0.25 \text{ N/m}$ . Модуль скачка силы  $\Delta F_a$  в момент "прилипания" из т. 1 в т. 2 равен  $0.53 \text{ nN}$ , а в момент "отлипания" из т. 3 в т. 4 —  $1.1 \text{ nN}$  (рис. 1, *c*), т.е. в два раза больше. Модуль скачка силы  $\Delta F_a$  в момент одинарного "микрослипа" из т. 1 в т. 2 равен  $0.43 \text{ nN}$ , а в момент двойного из т. 1 в т. 10 —  $0.98 \text{ nN}$ , т.е. более чем в два раза больше (рис. 2, *b*). Площадь циклов гистерезиса как на кривых  $X_t(X_h)$  или  $Z_t(Z_h)$ , так и на силовых кривых  $F_a(Z_h)$  или  $F_a(X_h)$  для меньших жесткостей больше. Это происходит благодаря тому, что при уменьшении жесткости оба конца всех устойчивых ветвей на кривых "вытягиваются" вдоль координат  $X_h$  или  $Z_h$  в разных направлениях.

Исходя из вышеизложенного, можно предположить метод диагностики точечных дефектов — вакансий, основанный на том, что скачки иглы будут ощутимы в районе их расположения. Действительно, в районе одиночной вакансии, например, "стыкуются" две устойчивые ветви, а в районе бивакансии — три (и т.д.). Поэтому скачки иглы в районе вакансии будут двойными, в районе бивакансии — тройными.

По кратности скачков иглы можно определить величину вакансионного кластера. Можно предположить, например, что двойные "микрослипы", наблюдавшиеся впервые в работе [5], связаны именно со скачком иглы над вакансией. Однако следует иметь в виду, что после скачка над вакансиями игла может перепрыгнуть не на первую устойчивую ветвь, а на следующую, так как в этом случае высвободится значительная кинетическая энергия. Предлагаемый метод существенно отличается от методов наблюдения точечных дефектов по искривлению линии постоянной силы в атомно-силовом микроскопе [15,16].

Для исследования бифуркаций положений равновесия иглы удобно применять теорию особенностей гладких отображений в теории катастроф [12]. Рассмотрим плоскости управляющих параметров машин катастроф:  $(k, Z_h)$  и  $(k, X_h)$ . Спроецируем на эти плоскости решения уравнений (1) и (2), т.е. гладкие поверхности равновесия. Такое проектирование имеет складки и сборки. Проекция точек складок представляют собой кривые катастроф — линии "прилипания". Эти кривые делят плоскость управляющих параметров на две части (рис. 3).



**Рис. 3.** Проекция поверхностей равновесия: *a* — адгезионной машины катастроф  $Z_l(k, Z_h)$  и *b* — фрикционной машины катастроф  $X_l(k, Z_h)$  на плоскость управляющих параметров: линии складок и точки сборки, их соединяющие.  $\psi$  — градиент положения иглы как функции от положения держателя. В заштрихованную область ( $\psi < 0$ ) проецируется по три точки поверхности равновесия, в незаштрихованную ( $\psi > 0$ ) — только одна.

В точки заштрихованной части проецируется по три (на рис. 3, *a*) и более трех (на рис. 3, *b*) точек поверхности равновесия, в точки незаштрихованной части — лишь по одной, в точки кривой — по две (на рис. 3, *a*) и по три (на рис. 3, *b*) точки. При пересечении кривой катастроф из заштрихованной части в незаштрихованную два прообраза из трех сливаются, а затем исчезают (в этом месте особенность — складка). При подходе к острям сливаются три прообраза (в этом месте особенность — сборка). Скачков можно избежать, если заранее знать, каким путем переходить из одного места поверхности равновесий на другое. Например, из рис. 3, *a* видно, что пересечение линии катастроф при движении по отрезку  $AF$  от точки  $A$  к точке  $F$  вызывает "скачок к контакту" (из т. 1 в т. 2 на рис. 1, *b*), а при движении от точки  $F$  к точке  $A$  — "скачок от контакта" (из т. 3 в т. 4 на рис. 1, *b*). Но при движении по ломаной  $ABCDEF$  в обход точки сборки возможность любых катастроф исключается. Для этого в точках  $B$  и  $E$  при приближении к линии катастроф нужно повысить жесткость выше критического значения, равного  $0.8 \text{ N/m}$ , и после этого обойти точку сборки справа. Таким же образом можно избежать "микрослипов" в циклах горизонтального скольжения, повышая жесткость при приближении к линии катастроф в точках  $B$  и  $E$  выше  $30 \text{ N/m}$  (рис. 3, *b*).

На основании проведенного анализа состояний машин катастроф можно предложить новый алгоритм подвода иглы кантилевера к поверхности. Для этого в процессе сближения иглы с поверхностью должен контролироваться параметр  $\psi(Z_h, k) = \text{grad}[Z_h(Z_t)]$ . Положения  $Z_h$ , в которых значение параметра  $\psi$  становится равным нулю, соответствуют кривой катастроф на плоскости управляющих параметров (рис. 3, *a*). Значения  $\psi < 0$  соответствуют заштрихованной области, а  $\psi > 0$  — незаштрихованной. Поэтому, если поддерживать значение  $\psi$  всегда большим нуля, это предотвратит возможность катастроф. Суть алгоритма в том, что в моменты, когда значение параметра  $\psi$  приближается к нулю (но не становится равным нулю!), цепь обратной связи должна повышать значение жесткости кантилевера. В моменты, когда значение параметра  $\psi$  удаляется от нуля, цепь обратной связи может быть отключена.

Найденные закономерности возникновения катастроф должны быть учтены при построении теории атомно-силового микроскопа, в частности в расчетах силы трения [17], при вычислении сдвига фазы в динамическом режиме [18], а также при разработке методов расчета



межатомных потенциалов из кривых нагружения иглы [19]. Рассмотренный подход может быть реализован и на более реалистичных моделях, с учетом большего числа атомов в зоне контакта и релаксацией. Кроме того, его можно применить к капиллярным, электростатическим магнитным и другим типам сил между иглой и поверхностью.

## Список литературы

- [1] Tomlinson G.A. // *Phil. Mag.* 1929. V. 7. P. 905–939.
- [2] Frenkel Y.I., Kontorova T.A. // *Zh. Eksp. Teor. Fiz.* 1938. V. 8. P. 1340.
- [3] McClelland G.M. *Adhesion and friction* / Eds. M. Grunze, H.J. Kreuzer. Berlin: Springer-Verlag, 1989. P. 1–16.
- [4] Binnig G., Quate C.F., Gerber Ch. // *Phys. Rev. Lett.* 1986. V. 56. P. 930–933.
- [5] Mate C.M., McClelland G.M., Erlandsson R., Chiang S. // *Phys. Rev. Lett.* 1987. V. 59. P. 1942–1945.
- [6] Kaneko R., Nonaka K., Yasuda K. // *J. Vac. Sci. Technol. A.* 1988. V. 6. P. 291–292.
- [7] Hao H.-W., Baro A.M., Saenz J.J. // *J. Vac. Sci. Technol. B.* 1991. V. 9. P. 1323–1328.
- [8] Tomanek D. *Scanning tunneling microscopy III* / Eds. R. Weisendanger, H.-J. Guntherodt. Berlin: Springer-Verlag, 1996. P. 269–292.
- [9] Colchero J., Marti O., Mlynek J. *Forces in scanning probe methods* Eds. H.-J. Guntherodt et al. Dordrecht: Kluwer Academ. Publ., 1995. P. 345–352.
- [10] Tomanek D., Zhong W., Thomas H. // *Europhys. Lett.* 1991. V. 15. P. 887–892.
- [11] Sasaki N., Tsukada M. // *Sci. Rep. RITU. Ser. A.* 1997. V. 44. P. 1–15.
- [12] Арнольд В.И. *Теория катастроф*. М.: Наука, 1990. 128 с.
- [13] Girifalco L.A., Weiser V.G. // *Phys. Rev.* 1959. V. 114. P. 687–690.
- [14] Carpick R.W., Salmeron M. // *Chem. Rev.* 1997. V. 97. P. 1163–1194.
- [15] Благов Е.В., Климчицкая Г.Л., Панов В.И. и др. // *Письма в ЖТФ.* 1993. Т. 19. В. 8. С. 73–78.
- [16] Покропивный А.В., Покропивный В.В., Скороход В.В. // *Письма в ЖТФ.* 1996. Т. 22. В. 2. С. 1–7.
- [17] Дедков Г.В. // *Письма в ЖТФ.* 1998. Т. 24. В. 19. С. 44–50.
- [18] Giessibl F.J. // *Phys. Rev. B.* 1997. V. 56. P. 16 010–16 015.
- [19] Моисеев Ю.Н., Мостепаненко В.М., Панов В.И., Соколов И.Ю. // *Письма в ЖТФ.* 1989. Т. 15. В. 20. С. 5–10.